

Elektrische Eigenschaften

Electrical properties

Höchstzulässige Werte

Maximum rated values

Periodische Vorwärts-Spitzensperrspannung Vorwärts-Stoßspitzenspannung	repetitive peak forward off-state voltage non repetitive peak forward off-state voltage	$t_{vj} = -40^{\circ}\text{C} \dots t_{vj\text{max}}$ $t_{vj} = -40^{\circ}\text{C} \quad t_{vj\text{max}}$	$V_{\text{DRM}} \quad 2500, 2800 \quad \text{V}$ $V_{\text{DSM}} = V_{\text{DRM}}$
Periodische Rückwärts-Spitzensperrspannung	repetitive peak reverse voltage	$t_{vj} = -40^{\circ}\text{C} \quad t_{vj\text{max}}$	$V_{\text{RRM}} \quad 20 \quad \text{V}$
Periodische Rückwärts-Spitzensperrspannung nach der Kommutierung	repetitive peak reverse voltage after commutation	$t_{vj} = -40^{\circ}\text{C} \dots t_{vj\text{max}}, t_p = 1 \text{ ps}$	$V_{\text{RRM(C)}} \quad 25 \quad \text{V}$
Durchlaßstrom-Grenzeffektivwert Dauergrenzstrom	RMS on-state current average on-state current	$t_c = 85^{\circ}\text{C}$ $t_c = 51^{\circ}\text{C}$	$I_{\text{TRMSM}} \quad 2200 \quad \text{A}$ $I_{\text{TAVM}} \quad 900 \quad \text{A}$ $1400 \quad \text{A}$
Stoßstrom-Grenzwert	surge current	$t_{vj} = 25^{\circ}\text{C}, t_p = 10 \text{ ms}$ $t_{vj} = t_{vj\text{max}}, t_p = 10 \text{ ms}$	$I_{\text{TSM}} \quad 19 \quad \text{kA}$ $16 \quad \text{kA}$
Grenzlastintegral	$\int i^2 dt$ -value	$t_{vj} = 25^{\circ}\text{C}, t_p = 10 \text{ ms}$ $t_{vj} = t_{vj\text{max}}, t_p = 10 \text{ ms}$	$\int i^2 dt \quad 1800 \quad \text{kA}^2\text{s}$ $1280 \quad \text{kA}^2\text{s}$
Kritische Stromsteilheit	critical rate of rise of on-state current	$v_D \leq 67\% V_{\text{DRM}}, f_o = 50 \text{ Hz}$ $v_L = 10 \text{ V}, i_{\text{GM}} = 4 \text{ A}, di_G/dt = 8 \text{ A/ps}$	$(di/dt)_{\text{cr}} \quad 250 \quad \text{A}/\mu\text{s}$
Kritische Spannungssteilheit	critical rate of rise of off-state voltage	$t_{vj} = t_{vj\text{max}}, v_D = 67\% V_{\text{DRM}}$ 5. Kennbuchstabe/5th letter F	$(dv/dt)_{\text{cr}} \quad 1000 \quad \text{V}/\mu\text{s}$

Charakteristische Werte

Characteristic values

Durchlaßspannung	on-state voltage	$t_{vj} = t_{vj\text{max}}, I_T = 4200 \text{ A}$	$V_T \quad \text{max.} \quad 2,75 \quad \text{V}$
Schleusenspannung	threshold voltage	$t_{vj} = t_{vj\text{max}}$	$V_{T(\text{TO})} \quad 1,46 \quad \text{V}$
Ersatzwiderstand	slope resistance	$t_{vj} = t_{vj\text{max}}$	$r_T \quad 0,295 \quad \text{m}\Omega$
Zündstrom	gate trigger current	$t_{vj} = 25^{\circ}\text{C}, v_D = 12 \text{ V}$	$I_{\text{GT}} \quad \text{max.} \quad 300 \quad \text{mA}$
Zündspannung	gate trigger voltage	$t_{vj} = 25^{\circ}\text{C}, v_D = 12 \text{ V}$	$V_{\text{GT}} \quad \text{max.} \quad 2,5 \quad \text{V}$
Nicht zündender Steuerstrom	gate non-trigger current	$t_{vj} = t_{vj\text{max}}, v_D = 12 \text{ V}$	$I_{\text{GD}} \quad \text{max.} \quad 40 \quad \text{mA}$
Nicht zündende Steuerspannung	gate non-trigger voltage	$t_{vj} = t_{vj\text{max}}, v_D = 0,5 V_{\text{DRM}}$	$V_{\text{GD}} \quad \text{max.} \quad 0,3 \quad \text{V}$
Haltestrom	holding current	$t_{vj} = 25^{\circ}\text{C}, v_D = 12 \text{ V}, R_A = 4,7 \Omega$	$I_H \quad \text{max.} \quad 400 \quad \text{mA}$
Einraststrom	latching current	$t_{vj} = 25^{\circ}\text{C}, v_D = 12 \text{ V}, R_{\text{GK}} \geq 10 \Omega$ $i_{\text{GM}} = 4 \text{ A}, di_G/dt = 8 \text{ A}/\mu\text{s}, t_g = 20 \text{ ps}$	$I_L \quad \text{max.} \quad 2 \quad \text{A}$
Vorwärts- u. Rückwärts-Sperrstrom	forward off-state and reverse Currents	$t_{vj} = t_{vj\text{max}}, v_D = V_{\text{DRM}}, v_R = V_{\text{RRM}}$	$I_D \quad \text{max.} \quad 200 \quad \text{mA}$ $I_R \quad \text{max.} \quad 1000 \quad \text{mA}$
Zündverzug	gate controlled delay time	$t_{vj} = 25^{\circ}\text{C}, i_{\text{GM}} = 4 \text{ A}, di_G/dt = 8 \text{ A}/\mu\text{s}$	$t_{\text{gd}} \quad \text{max.} \quad 1,5 \quad \mu\text{s}$
Freiwerdezeit	circuit commutated turn-off time	siehe Techn. Erl./see Techn. Inf.	$t_P \quad \text{max.} \quad 55 \quad \mu\text{s}^1)$

Thermische Eigenschaften

Thermal properties

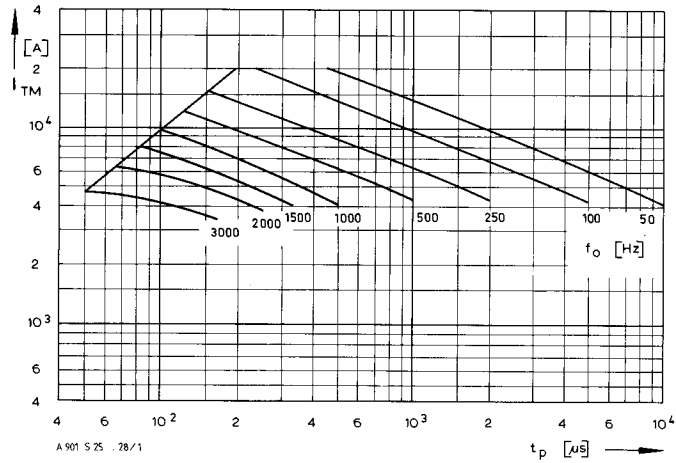
Innerer Wärmewiderstand für beidseitige Kühlung	thermal resistance, junction to case for two-sided cooling	$\Theta = 180^{\circ}\text{el, sin}$ DC	$R_{\text{thJC}} \quad \text{max.} \quad 0,0212^{\circ}\text{C/W}$ $\text{max.} \quad 0,0200^{\circ}\text{C/W}$
Übergangswärmewiderstand	thermal resistance, case to heatsink	beidseitig/two-sided einseitig/one-sided	$R_{\text{thCK}} \quad \text{max.} \quad 0,005^{\circ}\text{C/W}$ $\text{max.} \quad 0,010^{\circ}\text{C/W}$
Höchstzul. Sperrschichttemperatur	max. junction temperature		$t_{vj\text{max}} \quad 125^{\circ}\text{C}$
Betriebstemperatur	Operating temperature		$t_{c\text{op}} \quad -40 \dots + 125^{\circ}\text{C}$
Lagertemperatur	storage temperature		$t_{\text{stg}} \quad -40 \dots + 140^{\circ}\text{C}$

Mechanische Eigenschaften

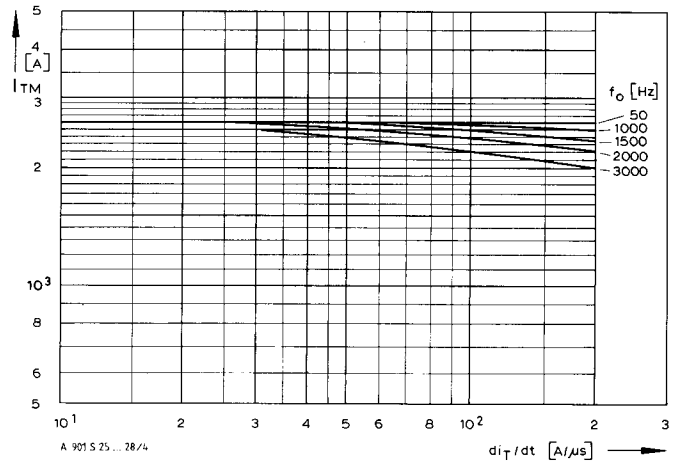
Mechanical properties

Si-Elemente mit Druckkontakt	Si-pellets with pressure contact		$F \quad 13,5 \dots 24 \text{ kN}$
Anpreßkraft	Clamping force		$G \quad \text{typ.} \quad 550 \text{ g}$
Gewicht	weight		$25 \text{ mm}$
Kriechstrecke	Creepage distance		$C$
Feuchteklasse	humidity classification	DIN 40040	$50 \text{ m/s}^2$
Schwingfestigkeit	Vibration resistance	$f = 50 \text{ Hz}$	Seite/page 155
Maßbild	outline		

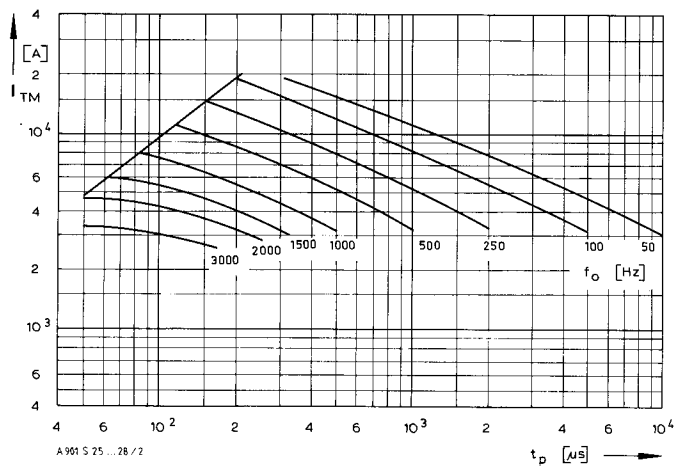
1) mit antiparalleler Diode/with inverse paralleled diode



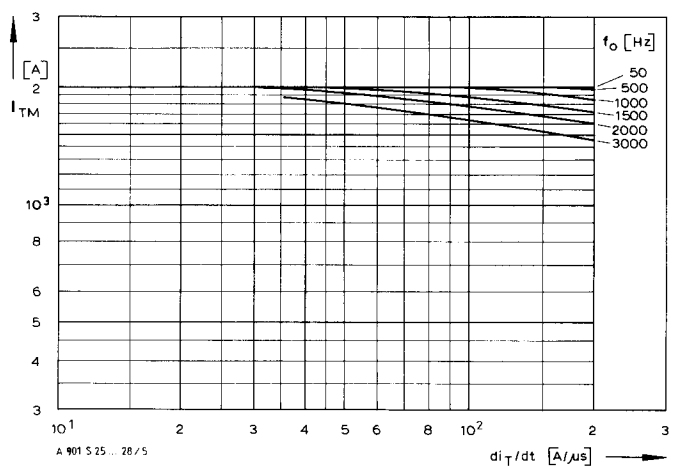
Bild/Fig. 1  $t_c = 60^\circ\text{C}$



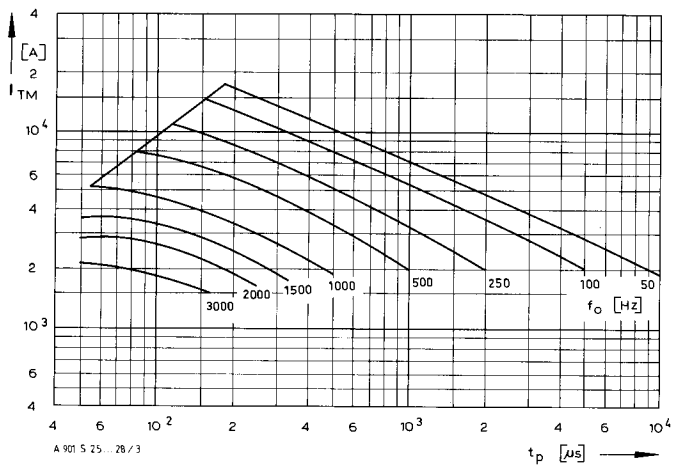
Bild/Fig. 4  $t_c = 60^\circ\text{C}$



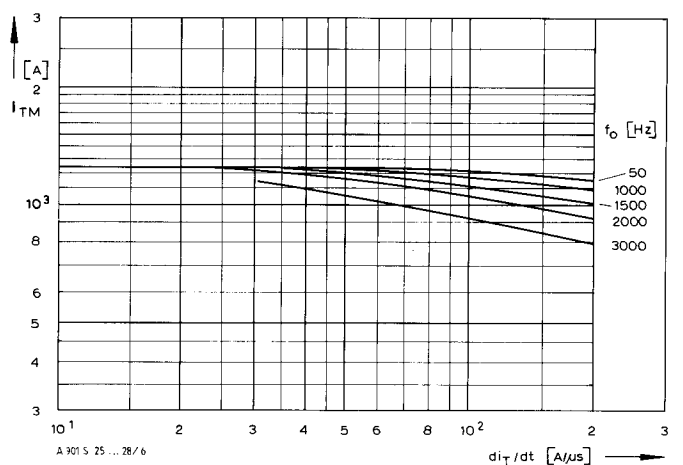
Bild/Fig. 2  $t_c = 80^\circ\text{C}$



Bild/Fig. 5  $t_c = 80^\circ\text{C}$



Bild/Fig. 3  $t_c = 100^\circ\text{C}$



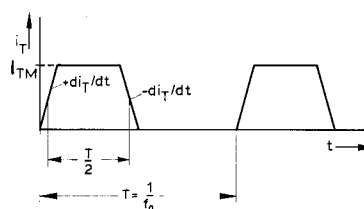
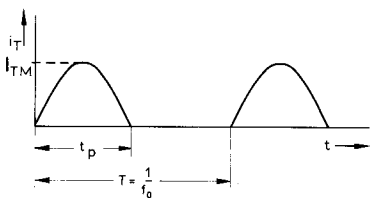
Bild/Fig. 6  $t_c = 100^\circ\text{C}$

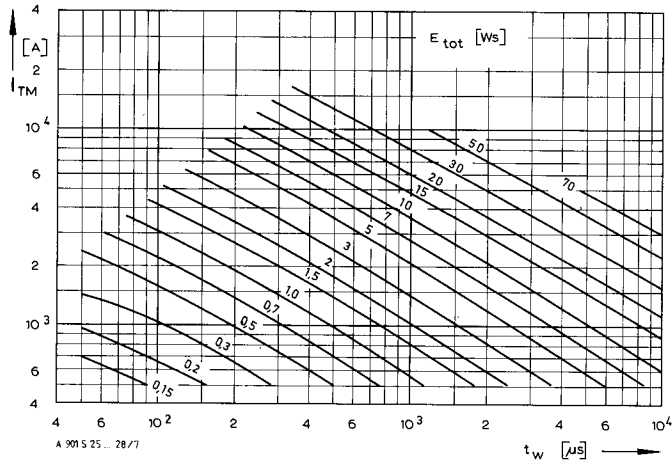
Bild/Fig. 1, 2, 3  
Steuer-generator/pulse generator:  
 $i_G = 4 \text{ A}$ ,  $di_G/dt = 8 \text{ A}/\mu\text{s}$

RC-Glied/RC-network:  
 $R [\Omega] \geq 12 \Omega$   
 $C \leq 1 \mu\text{F}$   
 $V_{DM} \leq 0,67 V_{DRM}$

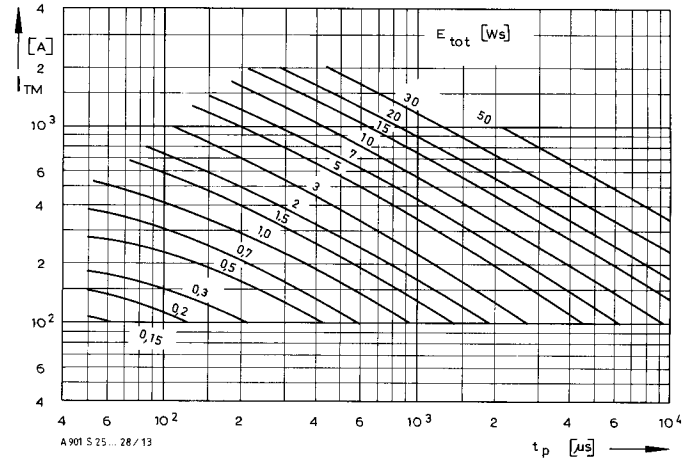
Bild/Fig. 4, 5, 6  
Steuer-generator/pulse generator:  
 $i_G = 4 \text{ A}$ ,  $di_G/dt = 8 \text{ A}/\mu\text{s}$

RC-Glied/RC-network:  
 $R [\Omega] \geq 12 \Omega$   
 $C \leq 1 \mu\text{F}$   
 $V_{DM} \leq 0,67 V_{DRM}$

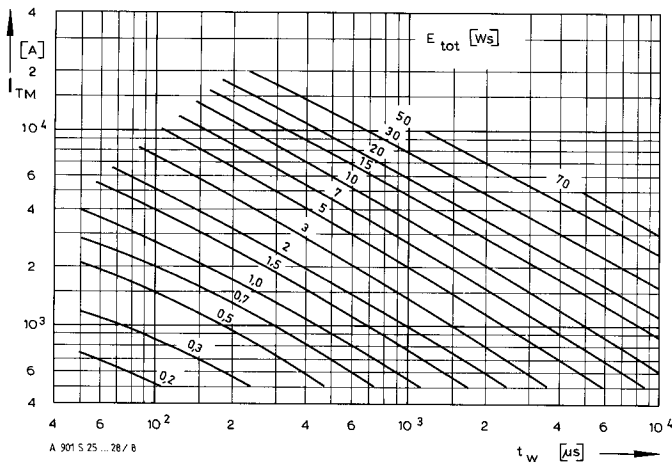




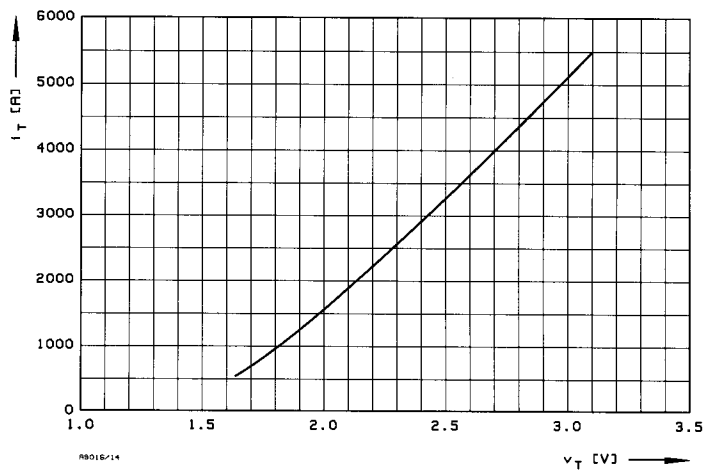
Bild/Fig. 7  $-di_T/dt = 100 \text{ A}/\mu\text{s}$



Bild/Fig. 13



Bild/Fig. 8  $-di_T/dt = 200 \text{ A}/\mu\text{s}$



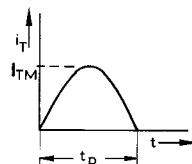
Bild/Fig. 14

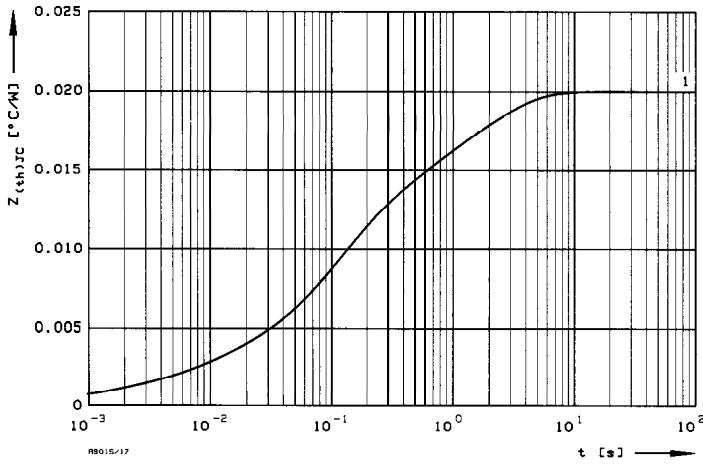
Bild/Fig. 7, 8  
Steuergenerator/pulse generator:  
 $i_G = 4 \text{ A}$ ,  $di_G/dt = 8 \text{ A}/\mu\text{s}$

RC-Glied/RC-network:  
 $R \geq 12 \Omega$   
 $C \leq 1 \mu\text{F}$   
 $v_{DM} \leq 0,67 v_{DRM}$   
 $v_{RM} \leq 20 \text{ V}$

(zu Bild/to Fig. 13)  
Steuergenerator/pulse generator:  
 $i_G = 4 \text{ A}$ ,  $di_G/dt = 8 \text{ A}/\mu\text{s}$

RC-Glied/RC-network:  
 $R \geq 12 \Omega$   
 $C \leq 1 \mu\text{F}$   
 $v_{RM} \leq 20 \text{ V}$





Analytische Elemente des transienten Wärmewiderstandes  $Z_{thJC}$  für DC  
 Analytical elements of transient thermal impedance  $Z_{thJC}$  for DC

Kühlung	Pos. n	1	2	3	4	5	6	7
beidseitig	$R_{thn}$ [°C/W]	0,00067	0,00175	0,0078	0,00378	0,006		
two-sided	$\tau_n$ [s]	0,001	0,0074	0,096	0,35	1,95		
anodenseitig	$R_{thn}$ [°C/W]							
anode-sided	$\tau_n$ [s]							
kathodenseitig	$R_{thn}$ [°C/W]							
cathode-sided	$\tau_n$ [s]							

Analytische Funktion/analytical function:

$$Z_{thJC} = \sum_{n=1}^{n_{max}} R_{thn} (1 - \text{EXP}(-t/\tau_n))$$

Bild/Fig. 17  
 Transienter innerer Wärmewiderstand  $Z_{thJC} = f(t)$ , DC  
 Transient thermal impedance  $Z_{thJC} = f(t)$ , DC  
 1 Beidseitige Kühlung/two-sided cooling